

## دسته‌بندی ویژگی‌های استخراج شده از پیش‌زمینه و پس‌زمینه تصویر برای ردیابی اهداف متحرک هوایی

وحید آزادزاده<sup>۱</sup>، کارشناسی ارشد، علی محمد لطیف<sup>۲</sup>، استادیار

۱- دانشکده مهندسی برق و کامپیوتر - دانشگاه یزد - یزد - ایران - vahid.azadzadeh@stu.yazd.ac.ir

۲- دانشکده مهندسی برق و کامپیوتر - دانشگاه یزد - یزد - ایران - alatif@yazd.ac.ir

**چکیده:** ردیابی هدف متحرک فرایندی است که در آن یک شیء مشخص در یک دنباله ویدئویی از فریم‌ها تعقیب و مکان آن در هر فریم آشکار می‌شود. هدف از این فرایند تسهیل در پردازش‌های بعدی برای تحلیل رفتار یا شناسایی سوزه متحرک است. در این مقاله رویکردی در زمینه ردیابی اهداف متحرک هوایی بر مبنای الگوریتم‌های تطبیق مشخصه ارائه شده است. چالش موجود، دسته‌بندی ویژگی‌های استخراج شده از پس‌زمینه و KLT پیش‌زمینه ناحیه هدف است. برای حل این مشکل نقاط کلیدی و متناظر آن‌ها در الگوهای استخراج شده از فریم‌های متوالی، توسط الگوریتم محاسبه می‌شود، سپس برای هر کدام از این نقاط شش ویژگی رنگ، میانگین، واریانس و دامنه تغییرات محاسبه می‌شود و با استفاده از این ویژگی‌ها و تابع متمايزکننده بیزین نقاط ویژگی دسته‌بندی می‌شوند.علاوه بر این برای مقاوم کردن الگوریتم پیشنهادی نسبت به تغییر مقیاس هدف از تاریخچه مقیاس سوزه در ۱۰ فریم قبلی استفاده شده است. الگوریتم ارائه شده بر روی پایگاه داده استاندارد AIRCRAFT TRACKING اجرا شد. نتایج آزمایش‌ها کارآمدی روشن ارائه شده را در دقت ردیابی نسبت به الگوریتم‌های ردیابی KLT و SURF نشان می‌دهد.

واژه‌های کلیدی: الگوریتم KLT، تابع بیزین، تطبیق مشخصه، ردیابی هدف

## Classification of Features Extracted from Image Foreground and Background for Tracking of Aerial Moving Targets

V. Azadzadeh, Masters<sup>1</sup>, A.M. Latif, Assistant Professor<sup>2</sup>

1- Faculty of Electrical and Computer Engineering, University of Yazd, Yazd, Iran, Email: vahid.azadzadeh@stu.yazd.ac.ir

2- Faculty of Electrical and Computer Engineering, University of Yazd, Yazd, Iran, Email: alatif@yazd.ac.ir

**Abstract:** Moving target tracking is a process in which an object is tracked and its location is determined in each frame. The goal of this process is facilitating the subsequent processing to analyze the behavior or detect moving objects. In this paper a new approach for aerial moving targets tracking based on feature matching algorithms have been proposed. The main challenge is classification of extracted features from background and foreground regions. To solve this problem, key points and their corresponding patterns extracted from consecutive frames, is calculated by the KLT algorithm. Then for each of these points, six attributes such as color, mean, variance and range of variation are calculated. Using these attributes and Bayesian discriminant function, extracted key points classified. In addition to resisting the proposed algorithm to scale change of target the object history scale in the 10 previous frames is used. Proposed algorithm was performed on an AIRCRAFT TRACKING standard database. Experimental results show the effectiveness of the proposed method against KLT and SURF tracking algorithms in term of accuracy.

**Keywords:** KLT algorithm, bayesian function, feature matching, target tracking

تاریخ ارسال مقاله: ۱۳۹۴/۰۷/۰۲

تاریخ اصلاح مقاله: ۱۳۹۴/۰۷/۱۶ و ۱۳۹۴/۰۸/۱۱

تاریخ پذیرش مقاله: ۱۳۹۴/۰۸/۰۷

نام نویسنده مسئول: وحید آزادزاده

نشانی نویسنده مسئول: ایران - یزد - دانشگاه یزد - دانشکده مهندسی برق و کامپیوتر

## ۱- مقدمه

در مرجع [۵] بهمنظور رد یابی اهداف متحرک هوایی، با تخمین چگالی هسته گوسی، هیستوگرام وزن دارشده مدل هدف به دست آمده و با اعمال واریانس یک نویز تصادفی در محل هدف، موقعیت ذرات نامزد در فریم بعد پیش‌گویی می‌شوند. در این مقاله ذرات نامزد توسط فاصله با چاتاریا وزن دار شده و تعداد مراحل باز نموده برداری در هر فریم، متناسب با وزن ذرات در الگوریتم فیلتر ذره به صورت وفقی تعیین می‌گرددند. همچنین بهمنظور کنترل تغییرات شیء متحرک، شعاع هسته گوسی با لبه یابی مشخص می‌شود.

در ادامه برخی از الگوریتم‌های ریدیابی بر اساس هسته که از ایده دسته‌بندی نقاط ویژگی استخراج شده استفاده می‌کنند، آورده شده است.

**Shuo** و همکارانش در مقاله [۶] با استفاده از آموزش ویژگی‌های ناحیه شیء و زمینه اطراف شیء به یک مجموعه از دسته‌بندهای ضعیف و سپس ترکیب آن‌ها نقشه احتمال شیء را تشکیل دادند و برای یافتن مکان جدید شیء از روی ماکریم نقشه احتمال، از رویکرد جایه‌جایی میانگین<sup>۱</sup> استفاده کردند. آن‌ها از شدت روشنایی شیء و پس‌زمینه به عنوان ویژگی برای آموزش استفاده کردند. ضعف این روش استفاده از آستانه‌گیری‌های متعدد است.

در [۷, ۸] محققین از خوش‌بندی ویژگی‌های رنگ و مکان با استفاده از الگوریتم خوش‌بندی  $K$  میانگین<sup>۲</sup> استفاده کردند. در این رویکرد ابتدا ویژگی‌های شیء و زمینه نزدیک به شیء خوش‌بندی شده و با حذف خوش‌های مشارک، شیء از زمینه اطرافش متمایز می‌شود. در این الگوریتم در صورتی که شیء دیگری با ویژگی‌های مشابه با هدف در اطراف آن وجود داشته باشد، مدل هدف ضعیف می‌شود و حتی ممکن است ریدیاب شیء مورد نظر را تشخیص ندهد.

در مرجع [۹] از الگوریتم ترکیبی KLT برای ریدیابی هدف متحرک استفاده شده است. این الگوریتم ریدیابی نقاط ویژگی از بخش‌های استخراج و تطبیق ویژگی و تصحیح خطاط تشکیل شده است. نوآوری مورداً استفاده در این مقاله شامل تعریف دو آستانه  $t$  و  $N$  است. آستانه  $t$  به منظور حذف نقاط کم‌اهمیت مورد استفاده قرار می‌گیرد و با مقدار نصف اندازه ناحیه محصور کننده هدف مقداردهی می‌شود. در صورتی که فاصله اقلیدسی نقاط کلیدی از مرکز هدف، از آستانه  $t$  بیشتر باشد، آن نقطه کلیدی حذف خواهد شد. همچنین در فرآیند ریدیابی هرگاه تعداد نقاط کلیدی از آستانه  $N$  کم‌تر باشد، از ناحیه هدف در فریم جاری نقاط کلیدی جدید استخراج می‌شود.

در این مقاله برای رد یابی نقاط ویژگی از الگوریتم ترکیبی KLT ارائه شده در مرجع [۹] استفاده می‌شود. همچنین بهمنظور دسته‌بندی خوش‌مند ویژگی‌های استخراج شده از ناحیه پیش‌زمینه و پس‌زمینه هدف، از تابع متمايزکننده بیزین<sup>۳</sup> استفاده می‌شود. در بیشتر الگوریتم‌های ریدیابی در صورت تغییر مقیاس ناگهانی هدف در اثر دور یا نزدیک شدن شیء نسبت به دوربین، ریدیاب با مشکل مواجه می‌شود،

رد یابی هدف متحرک به مفهوم تعقیب هدف متحرک در یک سری تصاویر متوالی است و یکی از مسائل دشوار در بینایی ماشین است. از کاربردهای ریدیابی هدف متحرک می‌توان به بازشناسی ژست بر اساس حرکت (تحلیل حرکت بازیکنان، شناسایی فرد بر اساس طرز راه رفت و روند بهبود بیماری)، ناظارت خودکار صحنه‌های مشکوک (مترو، موزه و پارکینگ)، نمایه‌گذاری فایلهای ویدئویی، ارتباط انسان و رایانه از طریق ریدیابی حرکات چشم و تشخیص و ریدیابی خودکار اهداف متحرک در سامانه‌های موسکی و ضدموشکی نام برد. برخی از چالش‌های ریدیابی هدف متحرک، پوشیدگی هدف، تغییرات شدت روشنایی، تغییر حالت ظاهر هدف، صحنه شلوغ و پیچیده و حرکت دوربین است [۱].

تاکنون روش‌های مختلفی برای ریدیابی اشیاء متحرک در تصاویر متوالی پیشنهاد شده است. در یک دسته‌بندی الگوریتم‌های ریدیابی به چهار دسته ریدیابی نقاط، ریدیابی بر اساس هسته<sup>۴</sup>، ریدیابی سیاه‌نما<sup>۵</sup> و روش‌های تفیریق پس‌زمینه تقسیم‌بندی می‌شوند [۲]. هر یک از الگوریتم‌های مطرح شده در بالا محدودیت‌هایی دارد که با توجه به شرایط مسئله الگوریتم مناسب انتخاب می‌شود.

الگوریتم‌های ریدیابی نقاط را الگوریتم‌های ریدیابی مبتنی بر تطبیق مشخصه نیز می‌نامند. به دلیل ناتوانی در جداسازی پیش‌زمینه از پس‌زمینه، الگوریتم‌های ریدیابی مبتنی بر تطبیق مشخصه در ریدیابی اشیاء صلب نتیجه بهتری را ارائه می‌دهند؛ چون هنگامی که شیء غیرصلب باشد، ویژگی‌های استخراج شده از پس‌زمینه الگوریتم را به مشکل مواجه خواهد کرد [۳].

به منظور حل مشکل استخراج نقاط ویژگی از پس‌زمینه در این مقاله از ایده دسته‌بندی نقاط ویژگی استفاده شده است، این روش در الگوریتم‌های ریدیابی بر اساس هسته مورداً استفاده قرار می‌گیرد. مشکل استخراج نقاط ویژگی از پس‌زمینه شیء در الگوریتم‌های ریدیابی اساس هسته نیز وجود دارد؛ ولی این مشکل در الگوریتم‌های ریدیابی مبتنی بر استخراج و تطبیق مشخصه بیشتر است، چون فرآیند یادگیری در الگوریتم‌های ریدیابی تطبیق مشخصه وجود ندارد، و در صورتی که نقاط کلیدی استخراج شده از پس‌زمینه هدف باشد، شیء حرکت می‌کند ولی نقاط پس‌زمینه ثابت باقی می‌مانند، در این حالت ریدیاب با مشکل مواجه خواهد شد.

روش‌های ریدیابی نقاط به دو دسته قطعی<sup>۶</sup> و آماری<sup>۷</sup> تقسیم‌بندی می‌شوند. روش‌های قطعی برای تطبیق نقاط با استفاده از مجموعه‌ای از شروط حرکتی، یک هزینه وابستگی برای هر شیء در فریم  $t - t$  به یک شیء در فریم  $t$  تعریف می‌کند که هدف کمینه کردن هزینه تطبیق به عنوان یک مسئله بهینه سازی است [۲]. در روش‌های تخمین آماری مانند فیلتر کالمون<sup>۸</sup> و فیلتر ذره‌ای<sup>۹</sup> از رویکرد فضای حالت<sup>۱۰</sup> برای مدل گردان ویژگی‌های خاصی از شیء مانند موقعیت، سرعت و شتاب استفاده می‌کند [۴]. روش ارائه شده در این مقاله در شاخه الگوریتم‌های ریدیابی نقاط بر اساس مدل قطعی قرار می‌گیرد.

دگرگونی است. هدف به دست آوردن شش پارامتر ظاهرشده در ماتریس تبدیل  $D$  و بردار جایه‌جایی  $d$  است. در صورتی که ناحیه هدف کوچک باشد تعداد پارامترهای موردنیاز برای تطبیق الگو در مدل همگر کافی نبوده و لذا ردیابی قابل اعتماد نخواهد بود. در این حالت در صورتی که تغییرات درون فریمی هدف کوچک باشد می‌توان از مدل انتقال محض برای ردیابی نقاط ویژگی استفاده کرد.

هدف از این بخش یافتن نقطه تطبیقی نیست، بلکه با فرض به دست آوردن بهترین تطبیق بررسی می‌شود آیا برای این ویژگی عدم شباهت در فریم‌های متولی افزایش می‌یابد یا خیر؟ در صورتی که عدم شباهت افزایش پیدا کند این ویژگی کنار گذاشته می‌شود؛ لذا هدف کمینه کردن رابطه (۲) است که به عنوان عدم شباهت در نظر گرفته می‌شود.

$$\epsilon = \iint_W [J(Ax + d) - I(x)]^2 w(x) dx \quad (2)$$

$W$  پنجره ویژگی و  $w(x)$  مشخص کننده یکتابع وزن است. در حالت ساده،  $1 = w(x)$  در نظر گرفته می‌شود و برای اهمیت دادن به ناحیه مرکزی پنجره ویژگی،  $w$  می‌تواند به صورت یکتابع گوسی در نظر گرفته شود.

## ۲-۲- یافتن بهترین تطبیق برای ویژگی‌های خوب

هدف الگوریتم LK [۱۴] یافتن بهترین تطبیق  $T(x)$  برای تصویر ورودی  $I(x)$  است، که  $x = (x, y)^T$  بردار سنتوئی از مختصات پیکسل‌های تصویر،  $(I(x))$  تصویر ورودی در زمان  $t=1$  و  $T(x)$  یک زیرمجموعه از تصویر دوم در زمان  $t=2$  است. یافتن بهترین تطبیق از طریق کمینه کردن مجموع مربعات خطای بین الگوی هدف  $(T(x))$  و تصویر  $I$  انجام می‌شود.

تصویر  $I$  با تبدیل  $(p)$  به سیستم مختصات  $T(x)$  منتقل شده است.  $p$  یک مجموعه پارامتری برای ماتریس دگرگونی است، که  $p = (p_1, \dots, p_n)^T$  برداری از پارامترها است. در این حالت تابع تبدیل  $W(x; p)$  پیکسل  $x$  را در دستگاه مختصات  $I(x)$  می‌گیرد و آن را به موقعیتی در مختصات تصویر  $T(x)$  تبدیل می‌کند. در الگوریتم LK تابع هزینه‌ای که بهمنظور یافتن بهترین تطبیق مورد استفاده قرار می‌گیرد به صورت عبارت (۳) است.

$$\sum_x [I(W(x; p)) - T(x)]^2 \quad (3)$$

در این الگوریتم فرض می‌شود که تخمين اولیه از  $p$  معلوم است و در هر مرحله مقدار  $\Delta p$  به  $p$  اضافه می‌شود تا حداقل رابطه (۴) به دست آید.

$$\sum_x [I(W(x; p) + \Delta p) - T(x)]^2 \quad (4)$$

مقدار  $p$  با توجه به مقدار  $\Delta p$  به صورت  $p + \Delta p \leftarrow p$  بهروزرسانی می‌شود تا تخمين  $p$  همگرا شود. شرط همگرایی  $\epsilon \leq \|\Delta p\|$  است. با

برای حل این مشکل در این مقاله از اطلاعات تاریخچه مقیاس هدف در فریم‌های قبلی استفاده خواهد شد.

این مقاله به صورت زیر سازماندهی شده است: در بخش دوم الگوریتم ترکیبی KLT ارائه می‌شود. در بخش سوم روش پیشنهادی بیان می‌شود و تکنیک مورداستفاده در ردیابی و دسته‌بندی نقاط ویژگی و استفاده از تاریخچه مقیاس سوزه برای کنترل تغییر مقیاس هدف توضیح داده می‌شود. همچنین نتایج حاصل از شبیه‌سازی روش AIRCRAFT TRACKING<sup>۱۱</sup> پیشنهادی بر روی پایگاه داده استاندارد<sup>۱۲</sup> در بخش چهارم ارائه خواهد شد و در بخش پنجم جمع‌بندی و تنتیجه‌گیری ارائه می‌شود.

## ۲- الگوریتم ردیابی

الگوریتم KLT یکی از الگوریتم‌های ردیابی مبتنی بر تطبیق مشخصه است. علت این نام‌گذاری این است که در ابتدا توسط Lucas و Kanade [۱۰] پیشنهاد شد. سپس توسط Tomasi و Kanade [۱۱] توسعه داده شد. در سال ۱۹۹۴، Shi و Tomasi [۱۲] با افزودن قابلیت انتخاب ویژگی خوب این الگوریتم را توسعه بیشتری دادند. در سال ۲۰۱۰ Kalal و همکارانش [۱۳] رو شی برای تصحیح خطای ردیابی نقاط ارائه کردند که در الگوریتم KLT مورد استفاده قرار گرفت. جزئیات الگوریتم انتخاب و ردیابی ویژگی در [۱۰-۱۲] آمده است.

الگوریتم ترکیبی KLT از سه بخش تشکیل شده است. در ادامه بخش‌های انتخاب یک ویژگی خوب، یافتن بهترین تطبیق برای ویژگی‌های خوب و تصحیح خطای روش پیش‌رو-پسرو به اختصار تشریح می‌شود.

## ۲-۱- انتخاب یک ویژگی خوب

در مرجع [۱۲] بر کیفیت ویژگی‌ها از طریق اندازه‌گیری عدم شباهت ناظر می‌شود. عدم شباهت مشخص کننده تغییرهای ظاهرشده در یک ویژگی بین فریم جاری و چند فریم قبلی است. ایده اصلی به این صورت است که پس از استخراج ویژگی، معیار شباهت از طریق محاسبه میانگین مربعات خطای در فریم جاری و چند فریم قبلی، محاسبه می‌شود. در صورتی که عدم شباهت این ویژگی در طول چند فریم رشد کرد، ویژگی استخراج شده کنار گذاشته می‌شود.

مرجع [۱۲] خود یک روش ترکیبی است چون از هر دو مدل انتقال محض و دوران برای محاسبه عدم شباهت استفاده می‌کند که به صورت رابطه (۱) ارائه می‌شود.

$$J(Ax + d) = I(x) \quad (1)$$

در رابطه (۱) متغیر  $d$  بردار انتقال مرکز پنجره ویژگی  $x$  است. یک نقطه  $x$  در تصویر اول  $I$  به نقطه  $Ax + d$  در تصویر دوم  $J$  منتقل می‌شود. در حالی که  $A = l + D$  و  $l$  یک ماتریس همانی است، تا در صورتی که تعداد پارامترهای همگرایی<sup>۱۳</sup> کافی نبود بتوان از مدل انتقال محض برای تطبیق استفاده کرد. در این رابطه  $D = \begin{bmatrix} r_{xx} & r_{xy} \\ r_{yx} & r_{yy} \end{bmatrix}$  یک ماتریس

اگر  $I_t, I_{t+1}, \dots, I_{t+k}$  نشان‌دهنده دنباله‌های تصویر باشد و موقعیت نقطه کلیدی در زمان  $t$  را نشان دهد، با استفاده از یک ردیاب اختیاری، نقطه  $X_t$  به صورت رویه‌جلودر  $k$  گام ردیابی می‌شود تا خط سیر  $T_f^k(x_t, x_{t+1}, \dots, x_{t+k})$  به دست آید، که طول دنباله‌ها را نشان می‌دهد. سپس نقطه  $X_{t+k}$  به صورت رویه‌عقب ردیابی می‌شود تا به فریم اول برسد و  $T_b^k(\hat{x}_t, \hat{x}_{t+1}, \dots, \hat{x}_{t+k})$  تولید شود. با قرار دادن  $\hat{X}_{t+k} = X_{t+k}$ ، خطای پیشرو-پسرو با استفاده از فاصله اقلیدسی بین این دو خط سیر به صورت رابطه (۱۰) تعریف می‌شود.

$$\text{distance}(T_f^k, T_b^k) = \|x_t - \hat{x}_t\| \quad (10)$$

در الگوریتم ترکیبی KLT برای یک نقطه کلیدی این خطای  $\Delta p$  را فریم محاسبه می‌شود تا عملکرد آن در ردیابی بررسی شود. درصورتی که خطای تطبیق برای یک نقطه کلیدی در ردیابی پیشرو و پسرو افزایش پیدا کرد، آن نقطه کلیدی حذف خواهد شد.

### ۳- روش پیشنهادی

در الگوریتم پیشنهادی ابتدا در فریم اول (در لحظه  $t$ ) ناحیه هدف به صورت دستی مشخص شده و توسط الگوریتم KLT تعدادی نقطه کلیدی از این ناحیه استخراج می‌شود که به رنگ سبز در شکل ۱ نشان داده شده است. پس از انتخاب شیء و استخراج نقاط کلیدی، از عرض ( $w$ ) و ارتفاع ( $h$ ) مستطیل انتخاب شده توسط کاربر، برای محاسبه عرض ( $W$ ) و ارتفاع ( $H$ ) مستطیل خارجی که هم مرکز با ناحیه شیء بوده و آن را در برگرفته است به عنوان ناحیه پس زمینه استفاده می‌شود. در [۱۵] از رابطه (۱۱) به عنوان فاصله بین مستطیل داخلی و خارجی استفاده شده است. عرض ( $W$ ) و ارتفاع ( $H$ ) مستطیل خارجی که هم مرکز با ناحیه شیء بوده و آن را در برگرفته است از طریق رابطه (۱۲) به دست می‌آید.

$$D = \frac{w+h}{4} [\sqrt{2} - 1] \quad (11)$$

$$W = w + D, \quad H = h + D \quad (12)$$

در مرحله بعد از ناحیه مشخص شده به عنوان پس زمینه، ۷۲ نقطه ویژگی انتخاب می‌شود که در شکل ۱ به رنگ قرمز نشان داده شده است.

برای هر کدام از این نقاط شش ویژگی رنگ (RGB)، میانگین، واریانس و دامنه تغییرات محاسبه می‌شود و به عنوان پارامترهای معیار دسته‌بندی، در دو ماتریس  $6 \times 6$  ذخیره می‌شوند، که  $n$  تعداد نقاط استخراج شده از پس زمینه و پیش زمینه ناحیه هدف است. با فرض نرمال بودن توزیع ویژگی‌های استخراج شده مقادیر کواریانس، میانگین و معکوس کواریانس که پارامترهای تابع متمایز‌کننده بیزین هستند، برای داده‌های کلاس پس زمینه و پیش زمینه محاسبه می‌شود.

نوشتن بسط تیلور مرتبه اول  $I(W(x; p) + \Delta p)$  برای (۴)، رابطه (۵) به دست می‌آید.

$$\sum_x [I(W(x; p)) + \nabla I \frac{\partial W}{\partial p} \Delta p - T(x)]^2 \quad (5)$$

که  $\nabla I = (\frac{\partial I}{\partial x}, \frac{\partial I}{\partial y})$  گرادیان تصویر  $I$  در  $W(x; p)$  است. یعنی، در مختصات تصویر  $I$  محاسبه می‌شود، سپس توسط تخمین جاری از تبدیل  $W(x; p)$  به مختصات  $T(x)$  منتقل خواهد شد و  $\frac{\partial W}{\partial p}$  را کوینت تبدیل است. اگر  $W(x; p) = (W_x(x; p), W_y(x; p))^T$  باشد، آنگاه ماتریس پارامترهای دگرگونی  $\Delta p$  به صورت رابطه (۶) خواهد بود.

$$\frac{\partial W}{\partial p} = \begin{pmatrix} \frac{\partial W_x}{\partial p_1} & \frac{\partial W_x}{\partial p_2} & \dots & \frac{\partial W_x}{\partial p_n} \\ \frac{\partial W_y}{\partial p_1} & \frac{\partial W_y}{\partial p_2} & \dots & \frac{\partial W_y}{\partial p_n} \end{pmatrix} \quad (6)$$

با مشتق‌گیری از (۵) نسبت به  $\Delta p$  رابطه (۷) حاصل می‌شود.

$$2 \sum_x [\nabla I \frac{\partial W}{\partial p}]^T [I(W(x; p)) + \nabla I \frac{\partial W}{\partial p} \Delta p - T(x)] \quad (7)$$

که  $\nabla I \frac{\partial W}{\partial p}$  تصاویر گرادیان نزولی  $\Delta p$  نامیده می‌شود. رابطه (۷) برابر صفر قرار داده می‌شود تا مینیمم رابطه (۵) به دست آید، پس از حل آن رابطه (۸) حاصل خواهد شد.

$$\Delta p = H^{-1} \sum_x [\nabla I \frac{\partial W}{\partial p}]^T [T(x) - I(W(x; p))] \quad (8)$$

که  $H$  ماتریس  $n \times n$  هسین بوده و به صورت رابطه (۹) است.

$$H = \sum_x [\nabla I \frac{\partial W}{\partial p}]^T [\nabla I \frac{\partial W}{\partial p}] \quad (9)$$

به  $\Delta p$  پارامتر به روزرسانی گردید. نزولی گویند.

این مراحل تا به دست آوردن بهترین تطبیق برای الگوی  $(x)$  تکرار می‌شود. در مقاله [۱۴] اثبات شده است حتی اگر ناحیه جستجو در فریم دوم، از موقعیت واقعی هدف خیلی دور باشد، این الگوریتم با تغییر  $\Delta p$  درنهایت همگرا خواهد شد.

### ۳- تصحیح خطای روش خطای پیشرو-پسرو

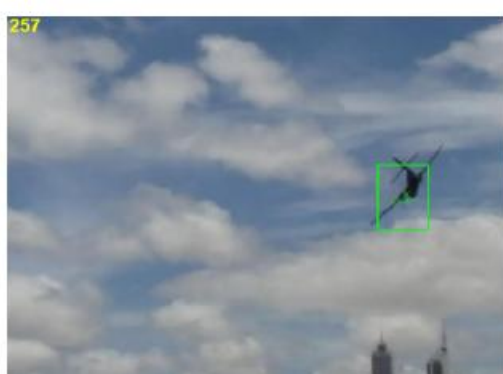
در مرجع [۱۲] معیار کاملی برای بررسی ویژگی‌ها آورده نشده است. مقاله [۱۳] از خطای پیشرو-پسرو به منظور محاسبه عدم شباهت استفاده می‌کند. یعنی ردیابی به طور همزمان به صورت رویه‌جلو و رویه‌عقب اجرا می‌شود و تفاوت بین این دو خط سیر اندازه‌گیری می‌شود. در این خط سیر دو طرفه نقاطی که به درستی تطبیق پیدا کردند به عنوان ویژگی قوی نگه داشته می‌شوند و بقیه حذف خواهند شد.



شکل ۱: استخراج نقاط کلیدی از ناحیه شیء و پس زمینه

مقیاس هدف در فریم‌های متوالی مشخص می‌شود. در نهایت ناحیه مشخص شده برای شیء در فریم جاری به عنوان الگوی معیار برای تعیین ناحیه شیء در فریم بعدی ذخیره می‌شود و مراحل ذکر شده تکرار خواهد شد.

هنگامی که تعداد نقاط کلیدی برای ردیابی از آستانه  $T_{\text{KeyPoints}}$  کمتر شود، الگوریتم KLT باید نقاط کلیدی جدید استخراج کند. در این مرحله ناحیه شیء و ناحیه پیش‌زمینه به صورت هوشمند مشخص می‌شوند، لذا امکان خطا وجود دارد. با توجه به اینکه در این قسمت اطلاعی در خصوص پیش‌زمینه یا پس‌زمینه بودن نقاط استخراج شده وجود ندارد، می‌توان از دسته‌بندی بیزین برای دسته‌بندی نقاط ویژگی استفاده کرد. تصاویر شکل ۲ نتیجه ردیابی را پس از دسته‌بندی نقاط ویژگی استخراج شده توسط تابع متمايزکننده بیزین نشان می‌دهد. در فریم ۲۵۷ تعداد نقاط کلیدی ناحیه شیء از آستانه  $T_{\text{KeyPoints}}$  کمتر شده است؛ لذا توسط الگوریتم KLT در فریم ۲۵۸ از ناحیه هدف در فریم جاری و با شعاعی بیشتر نقاط کلیدی استخراج می‌شود. همان‌طور که در فریم ۲۵۸ مشخص شده است، نقاط استخراج شده از پس‌زمینه ردیاب را با مشکل مواجه می‌کند. پس از دسته‌بندی نقاط ویژگی توسط تابع متمايزکننده بیزین نقاط مربوط به پس‌زمینه حذف شده و ناحیه شیء توسط نقاط باقی‌مانده تعیین می‌شود که در فریم ۲۵۹ مشخص شده است.



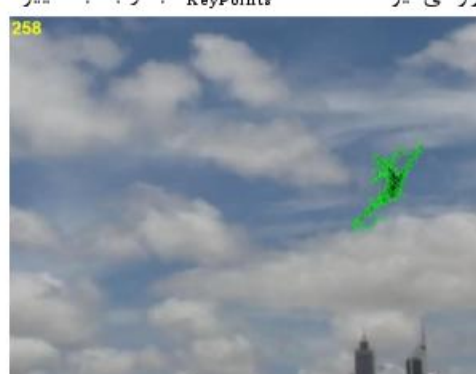
در فریم بعدی (لحظه  $t+1$ ) به منظور دسته‌بندی نقاط ویژگی، ویژگی‌های ردیابی شده توسط الگوریتم KLT به یک تابع متمايزکننده بیزین که در رابطه (۱۳) ارائه شده است [۱۶]، داده می‌شود. در صورتی که  $g_1(x) > g_2(x)$  باشد، ویژگی تطبیق‌یافته  $x$  متعلق به شیء خواهد بود در غیر این صورت در کلاس پس‌زمینه قرار می‌گیرد.

$$g_i(x) = -\frac{1}{2}(x - \mu)^T \Sigma_i^{-1} (x - \mu) - \frac{d}{2} \ln 2\pi - \frac{1}{2} \ln |\Sigma_i| + \ln P(W_i) \quad (13)$$

در رابطه (۱۳)،  $x$  یک ویژگی تطبیق‌یافته توسط الگوریتم KLT (۱۶ بعدی)،  $\mu$  بردار میانگین  $1 \times 6$  بعدی مربوط به هر کلاس،  $\Sigma$  ماتریس کواریانس  $6 \times 6$  بعدی،  $[ \Sigma ]^{\text{ا}} \text{ و } [ \Sigma ]^{\text{ب}}$  به ترتیب دترمینان و معکوس ماتریس کواریانس هستند.

به منظور تطبیق‌پذیری نسبت به تغییرات، مقادیر کواریانس، میانگین و معکوس کواریانس ویژگی‌هایی که درجه تعلق بالایی به هر کلاس داشته باشند با یکی از مقادیر پارامترهای معیار به صورت تصادفی جایگزین می‌شوند.

نقاط کلیدی و ویژگی‌های استخراج شده از ناحیه شیء و پس‌زمینه در دو مرحله به روزرسانی می‌شوند، ۱- افزایش عدم قطعیت نقاط تطبیقی که موجب حذف آنها می‌شود. ۲- کاهش نقاط تطبیقی متعلق به شیء از آستانه  $T_{\text{KeyPoints}}$  هنگامی که توسط تابع متمايزکننده در کلاس پس‌زمینه قرار می‌گیرند. آستانه  $T_{\text{KeyPoints}}$  با توجه به تغییر





شکل ۲: دسته‌بندی نقاط ویژگی توسطتابع متمايزکننده بیزین

### همچنین با توجه به نزدیکی طول و عرض ناحیه محصورکننده هدف

در فریم‌های متوالی نسبت به مقیاس طول و عرض ناحیه محصورکننده هدف الگوها مرتب می‌شوند و برای هر کدام از الگوهای  $w_i$  و  $h_i$  یک ضریب اثربخشی  $C_w$  و  $C_h$  تعریف می‌شود. مقدار این ضرایب اثربخشی در بازه  $[0, 1]$  است. ضریب ۱ متناظر با الگوهای  $w_1$  و  $h_1$  و بوده و ضریب  $0.1$  متناظر با الگوهای  $w_{10}$  و  $h_{10}$  است. مقادیر ضرایب اثربخشی در طول فرآیند ریدایپی مقادیر ثابت  $0.1, 0.0, 0.8, \dots, 0.9$  است و  $C_{w_i} = C_{h_i} = [1, 0.9, 0.8, \dots, 0.1]$  است و تنها الگوهای  $w_i$  و  $h_i$  در هر فریم به روزرسانی می‌شوند.

پس از یافتن نقاط تطبیقی در فریم جاری توسط الگوریتم KLT و دسته‌بندی نقاط تطبیق یافته توسط تابع متمايزکننده بیزین به ویژگی‌های شیء و پس زمینه، مرکز ناحیه محصورکننده هدف از روی ویژگی‌های مربوط به شیء به صورت رابطه (۱۴) محاسبه می‌شود.

$$\text{Center}_c = \frac{1}{N} \sum_{j=1}^N \text{KeyPoint}_j \quad (14)$$

در رابطه (۱۴)،  $\text{Center}_c$  تخمینی از مختصات مرکز شی در فریم جاری،  $\text{KeyPoint}_j$  مختصات نقطه کلیدی  $j$  از ناحیه شی در فریم جاری و  $N$  تعداد کل نقاط کلیدی تطبیق یافته ناحیه شی در فریم جاری را مشخص می‌کند. پس از محاسبه مرکز شی طبق رابطه (۱۴)، طول و عرض مستطیل محصورکننده هدف از روی نقاط ویژگی تطبیق یافته ناحیه شی به صورت رابطه (۱۵) محاسبه می‌شود.

$$(w_m, h_m) = \max_{x,y} \text{KeyPoint}_j - \min_{x,y} \text{KeyPoint}_j, \quad j = 1, \dots, N \quad (15)$$

پس از محاسبه طول و عرض ناحیه محصورکننده هدف  $(w_m, h_m)$  از روی نقاط ویژگی تطبیق یافته ناحیه شی در فریم جاری، فاصله اقلیدسی طول و عرض محاسبه شده با هر یک از طول و عرض‌های  $\{w_1, w_2, w_3, \dots, w_{10}\}$  و  $\{h_1, h_2, h_3, \dots, h_{10}\}$  از فریم‌های قبلی به منظور به دست آوردن نزدیک‌ترین طول و عرض، طبق رابطه (۱۶) محاسبه می‌شود.

$$(w_{\text{similar}}, h_{\text{similar}}) = \arg \min_i |(w_m, h_m) - (w_i, h_i)|, \quad i = 1, 2, \dots, 10 \quad (16)$$

### ۱-۲- استفاده از اطلاعات مقیاس سوژه

هر اندازه میزان انتباط ناحیه محصورکننده هدف بر آن بیشتر باشد خطای بازسازی ناحیه هدف کمتر خواهد شد. یکی از مشکلاتی که در اکثر الگوریتم‌های ریدایپی وجود دارد این است که از اطلاعات تاریخچه مقیاس هدف در فریم‌های قبلی استفاده نمی‌شود. به همین دلیل با تغییر مقیاس هدف در دور یا نزدیک شدن شی نسبت به دوربین، ناحیه محصورکننده هدف که به صورت چند ضلعی یا دایره‌ای است، با خطای زیادی مواجه خواهد شد.

برای حل مشکل مطرح شده، در این مقاله از اطلاعات تاریخچه مقیاس هدف در فریم‌های قبلی استفاده می‌شود. برای این منظور در فریم‌های متوالی  $10$  الگو از طول و عرض مستطیل‌هایی که هدف را محصور می‌کنند به صورت  $\{w_1, w_2, w_3, \dots, w_{10}\}$  و  $\{h_1, h_2, h_3, \dots, h_{10}\}$  ذخیره می‌شود. در این الگوها  $w_i$  و  $h_i$  به ترتیب نشان‌دهنده طول و عرض ناحیه محصورکننده هدف است.

طی آزمایش‌های انجام‌شده، اگر تعداد الگوهای ذخیره شده از طول و عرض هدف در فریم‌های متوالی کمتر از  $10$  الگو باشد، تخمین خوبی از تغییر مقیاس هدف به دست نمی‌آید، علاوه بر این افزایش تعداد الگوهای ذخیره شده منجر به افزایش خطای خواهد شد. در جدول ۱ برای نشان دادن تأثیر تعداد الگوهای ذخیره شده از طول و عرض هدف در میزان همپوشانی ناحیه محصورکننده هدف با خروجی حقیقی، الگوریتم پیشنهادی روی سه دنباله ویدئویی اعمال شد. همان‌طور که در جدول ۱ مشخص شده است، در صورتی که  $10$  الگو از طول و عرض هدف در فریم‌های متوالی برای تخمین مقیاس هدف در فریم جاری استفاده شود، میزان همپوشانی ناحیه محصورکننده هدف با خروجی حقیقی بیشتر خواهد شد.

### جدول ۱- میزان همپوشانی ناحیه محصورکننده هدف

|                  | نام دنباله ویدئویی | تعداد الگوهای ذخیره شده از طول و عرض هدف |      |      |
|------------------|--------------------|--|------|------|
|                  | ۵                  | ۱۰                                       | ۱۵   | ۲۰   |
| aerobatics_1     | ۰/۶۹               | ۰/۷۶                                     | ۰/۷۲ | ۰/۶۷ |
| multiple_smoke_1 | ۰/۷۲               | ۰/۷۹                                     | ۰/۷۷ | ۰/۵۸ |
| small_1          | ۰/۷۵               | ۰/۸۷                                     | ۰/۸۴ | ۰/۶۲ |

مقیاس سوژه، نمونه‌ای از میانگین وزن دار است. در روش ارائه شده ابعاد ناحیه محصور کننده شیء از روی نقاط تطبیق یافته تخمین زده می‌شود؛ لذا در محاسبات خطأ وجود دارد. برای غلبه بر این مشکل استفاده از تاریخچه مقیاس هدف به روش مطرح شده باعث می‌شود مقیاس هایی که احتمال تکرار بالایی در ۱۰ فریم قبلی دارند وزن بیشتری گرفته و تأثیر مثبتی در تعیین ناحیه محصور کننده هدف در فریم جاری داشته باشند.

برای نشان دادن کاربرد عمومی استفاده از تاریخچه مقیاس هدف برای ریدیابی اشیاء متحرک، این روش روی الگوریتم [1] Fast-Tracking که یک ریدیاب قوی در میان روش‌های ریدیابی بر اساس هسته است تست شد. مشکلی که در این الگوریتم وجود دارد در شکل ۳ ریدیاب بالا مشخص شده است. با تغییر مقیاس هدف ناحیه محصور کننده هدف نیز افزایش پیدا کرده که باعث افزایش خطأ و کاهش سرعت اجرای الگوریتم می‌شود. برای حل این مشکل از ایده استفاده از اطلاعات تاریخچه مقیاس سوژه در فریم‌های قبلی استفاده شد که نتایج آن در شکل ۳ ریدیاب پایین مشخص شده است.



شکل ۳: استفاده از اطلاعات ناحیه محصور کننده هدف در فریم‌های قبلی

۴. محاسبه ویژگی‌های رنگ، میانگین، واریانس و دامنه تغییرات برای نقاط کلیدی پیش‌زمینه و پس‌زمینه و تشکیل دو ماتریس  $6 \times 6$  بعدی ( $n$  تعداد نقاط کلیدی استخراج شده)
۵. محاسبه پارامترهای تابع بیزین از روی ویژگی به دست آمده از مرحله قبل بهمنظور تشکیل تابع متهمایزکننده مربوط به کلاس‌های پیش‌زمینه و پس‌زمینه طبق رابطه (۱۳)
۶. خواندن فریم بعدی (لحظه  $t+1$ ) و یافتن نقاط تطبیقی با استفاده از الگوریتم KLT

- الگوریتم ریدیابی ارائه شده به شرح زیر است:
۱. مشخص کردن موقعیت هدف در فریم اول (در لحظه  $t$ ) به صورت دستی با استفاده از موس
  ۲. انتخاب ویژگی از پس‌زمینه اطراف شیء، به عنوان نقاط کلیدی پس‌زمینه
  ۳. استخراج نقاط کلیدی از ناحیه هدف با استفاده از الگوریتم KLT

- رفتن به مرحله چهارم
  - ۱۰. اگر شمارنده به روزرسانی پارامترهای تابع متمایزکننده ناحیه پس زمینه کمتر از یک بود:
    - به روزرسانی ویژگی‌ها و پارامترهای تابع متمایزکننده ناحیه پس زمینه در فریم جاری
    - جایگزینی شمارنده به روزرسانی پارامترهای تابع متمایزکننده ناحیه پس زمینه با مقدار ۱۵ (بر اساس آزمایش‌های انجام شده و نتایج جدول ۲ مقدار بهینه برای شمارنده به روزرسانی پارامترهای تابع متمایزکننده ۱۵ به دست آمد).
  - ۱۱. رفتن به مرحله ششم
    - ۴ - آزمایش‌ها
- در این مقاله ایده‌ای برای دسته‌بندی نقاط ویژگی و مقابله با تغییر مقیاس هدف در اثر دور یا نزدیک شدن شیء نسبت به دوربین مطرح شد. روش مورد استفاده برای به روزرسانی پارامترهای تابع متمایزکننده در این مقاله به صورت برخط<sup>۱۵</sup> است. توابع دیگری مانند ماشین‌های بردار پشتیبان<sup>۱۶</sup> که قابلیت به روزرسانی برخط را دارند، نمی‌تواند در این زمینه مورد استفاده قرار بگیرد؛ چون در ماشین‌های بردار پشتیبان داده‌های آموزشی به صورت یک جا برای دسته‌بندی وارد سیستم می‌شوند و آموزش سیستم به صورت بروز خط<sup>۱۷</sup> است؛ ولی در الگوریتم ارائه شده با وجود داده‌ی جدید پارامترهای تابع بیزین محاسبه می‌شود و آموزش تابع متمایزکننده به صورت برخط خواهد بود.
- الگوریتم پیشنهادی با استفاده از نرم‌افزار متلب نسخه ۸.۳ و بر روی سیستمی با مشخصات Intel Core i7 با قدرت پردازش ۲.۲G赫z حافظه اصلی ۶GB پیاده سازی و اجرا شد. در این مقاله از پایگاه داده ارائه شده در [۹] استفاده شده است. این پایگاه داده شامل ۱۴ دنباله ویدئویی است. چالش‌های موجود در این پایگاه داده شامل: حرکت دوربین، حرکت سریع بالگرد، پوشیدگی شیء توسط ابرها، درختان و دود منتشر شده از بالگردها، بازتاب نور از سطح شفاف بالگردها و پس زمینه پیچیده در پروازهای با ارتفاع پایین، است.
- در حالتی که وضوح تصویر پایین باشد، بیشتر الگوریتم‌های تطبیق مشخصه برای استخراج نقاط کلیدی با مشکل مواجه می‌شوند. یکی از مزایای الگوریتم ردیابی KLT عدم و استگی این الگوریتم به وضوح تصویر است. همان‌طور که در شکل ۴ نشان داده شده است، در حالتی که وضوح تصویر پایین باشد الگوریتم KLT قادر به استخراج و تطبیق نقاط کلیدی در فریم‌های متوالی است.
- ۷. دسته‌بندی نقاط کلیدی تطبیق یافته در مرحله قبل، توسط تابع متمایزکننده به پیش‌زمینه و پس‌زمینه توسط تابع متمایزکننده رابطه (۱۳)
  - جایگزینی ویژگی‌هایی که در جه تعلق بالایی به هر کلاس داشته باشند با یکی از مقادیر پارامترهای معیار مربوط به همان کلاس به صورت تصادفی
  - اگر تعداد تطبیق‌های به دست آمده از ناحیه شیء پس از دسته‌بندی از آستانه  $T_{KeyPoints}$  بیشتر بود:
    - تخمین مرکز ناحیه محصورکننده هدف از روی ویژگی‌های تطبیق یافته مربوط به شیء از طریق میانگین‌گیری بین موقعیت پیکسلی نقاط و جایگزینی با مرکز قبلی طبق رابطه (۱۴)
    - محاسبه اختلاف حداقل و حداقل موقعیت نقاط کلیدی تطبیق یافته از ناحیه شیء به منظور به دست آوردن طول و عرض ناحیه محصورکننده هدف ( $W_m, h_m$ ) طبق رابطه (۱۵)
    - در صورتی که شماره فریم از ۱۰ کمتر بود، قراردادن طول و عرض محاسبه شده از روی نقاط ویژگی تطبیق یافته ناحیه شیء در ابتدای پشتہ رسماً چهار ضلعی محصورکننده هدف توسط مرکز به دست آمده از رابطه (۱۴) و طول و عرض محاسبه شده طبق رابطه (۱۸) روی فریم جاری به منظور مشخص کردن ناحیه هدف
    - در صورتی که شماره فریم از ۱۰ بیشتر بود، محاسبه فاصله اقلیدسی طول و عرض به دست آمده از نقاط کلیدی تطبیق یافته ( $W_m, h_m$ ) با مقادیر طول و عرض های قرارگرفته در پشتہ  $\{W_1, W_2, W_3, \dots, W_{10}\}$  و  $\{h_1, h_2, h_3, \dots, h_{10}\}$  از فریم‌های قبلی به منظور به دست آوردن طول و عرض های با حداقل و حداقل اختلاف طبق روابط (۱۶) و (۱۷) و مرتب‌سازی طول و عرض های داخل پشتہ
    - اگر تعداد تطبیق‌های به دست آمده کمتر از آستانه  $T_{KeyPoints}$  بود:
      - استخراج نقاط کلیدی پیرامون ناحیه مشخص کننده شیء در فریم قبل و با شعاعی بیشتر با استفاده از الگوریتم KLT



شکل ۴: فریم اول از دنباله‌های ویدئویی aerobatics\_1 و aerobatics\_clouds\_1

جدول ۲: میانگین خطای پیکسل مرکزی

| Video sequence             | Proposed | KLT[۹] | SURF[۲] | [۱۸] |
|----------------------------|----------|--------|---------|------|
| aerobatics_1               | ۱۳/۲     | ۳۲     | ۱۲۳/۸   | ۲۶   |
| aerobatics_2               | ۵/۳      | ۸/۱    | ۴۹/۳    | ۷/۷  |
| big_1                      | ۱۶/۶     | ۴۷/۲   | ۶۷/۴    | ۳۷/۴ |
| big_2                      | ۱۴/۱     | ۴۴/۹   | ۱۵/۱    | ۳۹   |
| multiple_1                 | ۷/۴      | ۱۳/۸   | ۵۳/۵    | ۱۲/۵ |
| multiple_2                 | ۸/۸      | ۱۲/۲   | ۱۹/۸    | ۱۰/۹ |
| multiple_smoke_1           | ۹/۷      | ۱۸/۹   | ۳۲      | ۱۴/۹ |
| multiple_smoke_2           | ۱۱/۱     | ۲۲/۷   | ۲۷/۱    | ۱۶/۱ |
| occlusion_1                | ۱۵/۶     | ۱۷/۱   | ۱۸/۶    | ۱۴   |
| aerobatics_clouds_1        | ۱۳       | ۲۳/۳   | ۱۹/۷۶   | ۱۷/۳ |
| aerobatics_specularities_1 | ۹/۴      | ۲۱     | ۳۱/۱    | ۱۶/۸ |
| aerobatics_3               | ۱۲/۱     | ۱۹/۳   | ۵۶/۷    | ۱۷/۱ |
| small_1                    | ۶/۲      | ۱۵/۸   | ۲۵/۶    | ۱۳   |
| small_clouds_1             | ۸/۵      | ۲۱/۴   | ۲۹/۱    | ۱۹/۷ |

الگوریتم رد یابی KLT یکی از الگوریتم‌های بلاذر نگ در رد یابی اشیاء متحرک است، همان‌طور که در جدول ۳ مشخص شده است، به دلیل افزودن بخشی برای به روزرسانی برخط پارامترهای تابع بیزین و استفاده از اطلاعات تاریخچه مقیاس هدف در الگوریتم رد یابی KLT، سرعت اجرای الگوریتم پیشنهادی کاهش پیدا کرده است؛ ولی با بهینه‌سازی کدهای پیاده‌سازی شده می‌توان به الگوریتم رد یابی بلاذر نگ دست یافت.

یکی از معیارهای ارزیابی الگوریتم‌های رد یابی، مشخص کردن میزان خطای پیکسل مرکزی ناحیه هدف با آنچه باید در واقعیت رخ دهد است [۱۷]. برای نشان دادن برتری روش ارائه شده در رد یابی اشیاء صلب، در جدول ۲ میانگین خطای پیکسل مرکزی و در جدول ۳ سرعت اجرا بر حسب فریم برثانیه، برای ۱۴ دنباله ویدئویی که خروجی الگوریتم‌های رد یابی SURF [۳]، KLT [۹] الگوریتم رد یابی مرجع [۱۸] و روش ارائه شده است، آورده شده است. ارزیابی‌های انجام شده در جدول ۲ نشان می‌دهد دسته‌بندی نقاط ویژگی پس زمینه و پیش‌زمینه باعث کاهش خطای رد یابی می‌شود.

در مقاله ارائه شده از الگوریتم KLT به عنوان الگوریتم پایه برای رد یابی استفاده شد. این الگوریتم در دسته‌ی الگوریتم‌های تطبیق مشخصه قرار می‌گیرد. تغییراتی که در این الگوریتم اعمال شد شامل استفاده از تاریخچه مقیاس سوژه برای مقابله با تغییر مقیاس هدف و دسته‌بندی نقاط ویژگی به پیش‌زمینه و پس زمینه با استفاده ازتابع متمایزکننده بیزین است. نتایج حاصل شده در جدول ۲ حاکی از بهبود عملکرد الگوریتم KLT در رد یابی اشیاء صلب است. الگوریتم ارائه شده با سه الگوریتم SURF، KLT و الگوریتم رد یابی مرجع [۱۸] مقایسه شد، که در شاخه الگوریتم‌های رد یابی نقاط بر اساس مدل قطعی قرار می‌گیرند.

در شکل ۵ حاصل اعمال الگوریتم ارائه شده روی سه دنباله ویدئویی آورده شده است. چالش‌های موجود در این دنباله‌های ویدئویی شامل: حرکت دوربین، حرکت سریع بالگردها، پوشیدگی شیء، توسط ابرها، بازتاب نور از سطح شفاف بالگردها، تغییر مقیاس و دوران بالگردها است.

جدول ۳: سرعت اجرا بر حسب فریم بر ثانية

| Video sequence             | Proposed | KLT [9] | SURF [3] | [18] |
|----------------------------|----------|---------|----------|------|
| aerobatics_1               | ۱۵/۲     | ۳۶/۱    | ۱۹/۱     | ۱۷/۲ |
| aerobatics_2               | ۱۱/۵     | ۵۰/۲    | ۲۵/۴     | ۲۰/۴ |
| big_1                      | ۱۰/۶     | ۳۱      | ۲۷/۳     | ۱۵/۳ |
| big_2                      | ۱۴/۵     | ۳۰/۴    | ۲۳       | ۱۵   |
| multiple_1                 | ۱۲/۹     | ۳۸/۵    | ۲۶/۷     | ۱۸/۹ |
| multiple_2                 | ۱۹/۲     | ۳۲/۴    | ۲۲/۱     | ۱۶/۵ |
| multiple_smoke_1           | ۱۳/۷     | ۳۲/۶    | ۲۶       | ۱۴/۴ |
| multiple_smoke_2           | ۱۷/۱     | ۳۹/۷    | ۲۴/۶     | ۱۹/۳ |
| occlusion_1                | ۱۱/۶     | ۴۱      | ۲۵/۷     | ۱۳   |
| aerobatics_clouds_1        | ۱۰/۵     | ۳۹      | ۲۰/۴     | ۱۹   |
| aerobatics_specularities_1 | ۱۱/۸     | ۳۱      | ۲۲       | ۱۵/۷ |
| aerobatics_3               | ۹/۸      | ۳۳/۶    | ۲۳/۵     | ۱۷   |
| small_1                    | ۱۲       | ۴۸/۹    | ۲۳/۶     | ۲۳/۱ |
| small_clouds_1             | ۱۳/۶     | ۳۱/۲    | ۲۰/۳     | ۱۵   |



شکل ۵: نتایج بصری الگوریتم ارائه شده روی دنباله‌های small\_clouds\_1 , aerobatics\_specularities\_1 , aerobatics\_clouds\_1

- [۵] عقیل عبیری، محمد رضا محزون، «ریدیابی اهداف متجرک هوایی با استفاده از تخمین چگالی کرتل بر اساس الگوریتم فیلتر ذره»، مجله مهندسی برق دانشگاه تبریز، جلد ۴۵، شماره ۳، پائیز ۱۳۹۴.
- [۶] S. Avidan, "Ensemble tracking," *Pattern Analysis and Machine Intelligence, IEEE Transactions on*, vol. 29, no. 2, pp. 261-271, 2007.
- [۷] C. Hua, H. Wu, Q. Chen and T. Wada, "K-means tracker: A general algorithm for tracking people," *Journal of Multimedia*, vol. 1, no. 4, pp. 46-53, 2006.
- [۸] C. Hua, H. Wu, Q. Chen and T. Wada, "K-means Clustering Based Pixel-wise Object Tracking," *IPSJ Online Transactions*, vol. 1, pp. 66-79, 2008.
- [۹] A. S. Mian, "Realtime visual tracking of aircrafts," *Techniques and Applications in Digital Image Computing*, pp. 351-356, 2008.
- [۱۰] B. D. Lucas and T. Kanade, "An iterative image registration technique with an application to stereo vision," *International Joint Conference on Artificial Intelligence*, pp. 674-679, 1981.
- [۱۱] C. Tomasi and T. Kanade, *Detection and tracking of point features*: School of Computer Science, Carnegie Mellon Univ. Pittsburgh, 1991.
- [۱۲] J. Shi and C. Tomasi, "Good features to track," *IEEE Computer Society Conference on Computer Vision and Pattern Recognition*, pp. 593-600, 1994.
- [۱۳] Z. Kalal, K. Mikolajczyk and J. Matas, "Forward-backward error: Automatic detection of tracking failures," *20th International Conference on Pattern Recognition*, pp. 2756-2759, 2010.
- [۱۴] S. Baker and I. Matthews, "Lucas-kanade 20 years on: A unifying framework," *International journal of computer vision*, vol. 56, no. 3, pp. 221-255, 2004.
- [۱۵] R. V. Babu, S. Suresh and A. Makur, "Online adaptive radial basis function networks for robust object tracking," *Computer Vision and Image Understanding*, vol. 114, no. 3, pp. 297-310, 2010.
- [۱۶] R. O. Duda, P. E. Hart and D. G. Stork, *Pattern classification*: John Wiley & Sons, 2012.
- [۱۷] D. Wang, H. Lu and M.-H. Yang, "Online object tracking with sparse prototypes," *IEEE Transactions on Image Processing*, vol. 22, no. 1, pp. 314-325, 2013.
- [۱۸] M. Anvaripour, R. S. Kandovan and S. Soltanpour, "Low distance airplanes detection and tracking visually using spectral residual and KLT composition," *Information Systems & Telecommunication*, vol. 3, no. 7, pp. 159-165, 2014.

## زیرنویس‌ها

- <sup>۱۰</sup> Bayesian Discriminative Function  
<sup>۱۱</sup> <http://www.csse.uwa.edu.au/~ajmal/databases.html>  
<sup>۱۲</sup> Affine  
<sup>۱۳</sup> Warp Parameter  
<sup>۱۴</sup> Gradient Descent  
<sup>۱۵</sup> Online  
<sup>۱۶</sup> Support Vector Machine

۵- جمع‌بندی و نتیجه‌گیری

در این مقاله روشی برای ریدیابی اشیاء صلب در دنبالهای ویدئویی ارائه شد. در روش ارائه شده از الگوریتم ترکیبی KLT برای استخراج و تطبیق نقاط کلیدی،تابع متمایزکننده بیزین بهمنظور دسته‌بندی نقاط ویژگی پس‌زمینه و پیش‌زمینه و تاریخچه مقیاس سوژه برای مقابله با تغییر مقیاس هدف استفاده شد. یکی از ایده‌های مطرح شده در این مقاله استفاده از تاریخچه مقیاس سوژه برای مقابله با تغییر مقیاس هدف است. همان‌طور که در شکل ۳ نشان داده شده است، استفاده از تاریخچه مقیاس سوژه در روش‌های ریدیابی مبتنی بر هسته نیز نتیجه مطلوبی را فراهم می‌کند و این ایده تنها به روش‌های ریدیابی مبتنی بر تطبیق مشخصه اختصاص ندارد.

ایده دیگری که در این مقاله استفاده شد، دسته‌بندی نقاط ویژگی استخراج شده از پس‌زمینه و پیش‌زمینه با استفاده از تابع متمایزکننده بیزین است که باعث کاهش خطای ریدیابی شد. البته هنگام استخراج ویژگی برای دسته‌بندی ویژگی‌ها به پیش‌زمینه و پس‌زمینه هنوز هم برخی ویژگی‌ها به اشتباه دسته‌بندی می‌شوند و دلیل آن ناتوانی در استخراج دقیق ویژگی‌های ناحیه شیء و پس‌زمینه است. در صورتی که هنگام استخراج ویژگی قبلاً از ریدیابی شیء، از یک الگوریتم مشخص‌سازی کاترور شیء استفاده شود، دقت الگوریتم ریدیابی بیشتر خواهد شد.

نتایج کیفی و کمی به دست آمده از شبیه‌سازی روش پیشنهادی نشان می‌دهد الگوریتم ارائه شده قادر است اشیاء صلب را با دقت خوبی ریدیابی کند.

## مراجع

- [۱] K. Zhang, L. Zhang, M.-H. Yang and D. Zhang, "Fast tracking via spatio-temporal context learning," in *Computer Vision-ECCV*, pp. 127-141, 2014.
- [۲] A. Yilmaz, O. Javed and M. Shah, "Object tracking: A survey," *Acm computing surveys (CSUR)*, vol. 38, no. 4, pp. 1-45, 2006.
- [۳] H. Shuo, W. Na and S. Huajun, "Object tracking method based on surf," *AASRI Procedia*, vol. 3, pp. 351-356, 2012.
- [۴] Y. Bar-Shalom, *Tracking and data association*: Academic Press Professional, Inc., 1987.

- <sup>۱</sup> Kernel tracking  
<sup>۲</sup> Silhouette tracking  
<sup>۳</sup> Deterministic Methods  
<sup>۴</sup> Statistical Methods  
<sup>۵</sup> Kalman Filter  
<sup>۶</sup> Particle Filter  
<sup>۷</sup> State Space Models  
<sup>۸</sup> Mean Shift  
<sup>۹</sup> K-Means Clustering